DOI: 10. 3969/j. issn. 1000-9760. 2022. 06. 006

血清 sST2 在主动脉壁间血肿和主动脉夹层诊断中的价值*

秦嵩博¹ 由辰飞¹ 张伟佳¹ 冯天策¹ 张保跃¹ 李 青^{1△} 李庆臣^{2△} (¹济宁医学院口腔医学院,济宁 272013;²济宁医学院附属医院,济宁 272029)

摘 要 目的 观察血清 sST2 在主动脉壁间血肿、主动脉夹层(Stanford B型)患者中的表达,分析 sST2 浓度与主动脉壁间血肿和夹层的关系,探讨其在该疾病诊断中的应用价值。方法 收集济宁医学院附属医院和南京市第一医院的 92 例患者,其中主动脉夹层 40 例,主动脉壁间血肿 52 例。收集患者入院 24h 内的血清 sST2 水平,并统计其同期的 D-二聚体浓度等临床数据,比较主动脉夹层与主动脉壁间血肿患者 sST2、D-二聚体水平,并采用 ROC 曲线分别比较 sST2 和 D-二聚体以及两者联合对于主动脉夹层和主动脉壁间血肿的诊断意义。结果 sST2 在主动脉夹层患者中表达量明显高于在主动脉壁间血肿患者,差异有统计学意义(Z=-4.73,P<0.001); 对主动脉夹层诊断得到 sST2 的曲线下最大面积为 0.788,最佳界值为 27.84ng/mL,D-二聚体的曲线下最大面积为 0.618,最佳界值为 1.215mg/L,两者联合诊断曲线下面积为 0.216;对主动脉壁间血肿诊断得到 sST2、D-二聚体的曲线下面积分别为 0.212、0.382,两项联合检测曲线下面积 0.784,最佳界值敏感度 0.692,特异性为 0.80。结论 sST2 在主动脉夹层患者中的表达明显高于在主动脉壁间血肿患者; sST2 对主动脉夹层有一定诊断价值,且强于 D-二聚体;两者联合对主动脉壁间血肿有一定的诊断价值。

关键词 主动脉夹层;主动脉壁间血肿;可溶性 ST2;D-二聚体;诊断 中图分类号:R543.16 文献标识码:A 文章编号:1000-9760(2022)12-410-04

Analysis of serum sST2 in the diagnosis of aortic intermural hematoma and aortic dissection

QIN Songbo¹, YOU Chenfei¹, ZHANG Weijia¹, FENG Tiance¹, ZHANG Baoyue¹, LI Qing^{1Δ}, LI Qingchen^{2Δ}
(¹School of Stomatology, Jining Medical University, Jining 272013, China;

²Affiliated Hospital of Jining Medical University, Jining 272029, China)

Abstract: Objective To observe the expression of serum sST2 in patients with aortic intermural hematoma and aortic dissection (Stanford B type), to analyze the relationship between sST2 concentration and aortic intermural hematoma and dissection, and to explore its application value in the diagnosis of these disease. Methods 92 patients were collected from the Affiliated Hospital of Jining Medical University and The First Hospital of Nanjing, including 40 cases of aortic dissection and 52 cases of aortic intermural hematoma. Venous blood of patients were collected within 24 hours after admission, the level of sST2 in their serum detected with Elisa method, and the clinical data such as D-dimer concentration in the same period counted. The levels of sST2 and D-dimer in patients with aortic dissection and aortic intramural hematoma were compared. ROC curve was used to compare the significance of sST2 and D-dimer and their combination in the diagnosis of aortic dissection and aortic intramural hematoma. Results The expression of sST2 in patients with aortic dissection was significantly higher than that in patients with intermural aortic hematoma, and the difference was statistically significant (Z=-4.73, P<0.001); the maximum area under the curve of sST2 in the diagnosis

^{*[}基金项目]济宁医学院教师科研扶持基金(科技类)(JYFC2019FKJ204);济宁医学院大学生创新创业训练计划(CX2020 129)

^{△[}通信作者]李青, E-mail: 378316439@ qq. com;李庆臣, E-mail: surgeonxw@ 163. com

of aortic dissection was 0. 788, and the best cutoff value was 27. 84ng/mL. The maximum area under the curve of D-dimer was 0. 618, and the best cutoff value was 1. 215mg/L, and the maximum area under the curve of combined diagnosis was 0. 216. For the diagnosis of aortic intermural hematoma, the maximum areas under the curve of sST2 and D-dimer were 0. 212 and 0. 382 respectively, the maximum area under the curve of the two combined detection were 0. 784, the best cut-off value was 0. 692, and the specificity was 0. 80. *Conclusion*

The expression of sST2 in patients with aortic dissection is significantly higher than that in patients with aortic intramural hematoma. sST2 has a certain diagnostic value in aortic dissection and its value is stronger than that in D-dimer. Both of them have no diagnostic significance in aortic intramural hematoma, but the combination of the two has certain diagnostic value in aortic intermural hematoma.

Keywords: Aortic dissection; Aortic intermural hematoma; sST2; D-dimer; Diagnosis

心血管疾病已成为我国居民死因首位,在疾病 死亡构成中占 40% 以上,其患病率及死亡率仍呈 上升趋势[1]。主动脉壁间血肿(Intramural hemorrhage, IMH) 和主动脉夹层(Aortic dissection, AD) 是两种心血管疾病。两者均以急性胸痛为主要表 现的危急重症,其临床表现复杂多变,病程进展迅 速、病死率高。IMH 患者常需药物治疗,而 AD 患 者在症状出现后每过 1h,其死亡率增加 1%~ 2%[2]。因此,主动脉壁间血肿和主动脉夹层患者 均需要快速鉴别诊断。 血清 sST2 作为一种新型心 衰标志物,能够早期预测心肌纤维化、心室重构,并 且其检测方法简单、易行,近年来已成为研究的热 点^[3]。目前 sST2 在主动脉疾病诊断中的应用研究 却极为少见。本研究对从济宁医学院附属医院和 南京市第一医院收集的 40 位主动脉夹层患者和 52 位主动脉壁间血肿患者的血清 sST2 浓度进行 分析,以期得到 sST2 在诊断 IMH 和 AD 上的价值。

1 资料与方法

1.1 研究对象

选取 2020 年 10 月至 2021 年 8 月于济宁医学院附属医院和南京市第一医院住院患者 92 例,其中主动脉壁间血肿患者 52 例,男性 40 例,女性 12 例,年龄(61.15±11.19)岁;主动脉夹层患者 40 例,其中男性 37 例,女性 3 例,年龄(57.18±11.18)岁。记录患者一般资料(包括性别,年龄,诊断,肌酐,尿素,碱性磷酸酶等)。分组标准:根据患者疾病类型分为主动脉壁间血肿组和主动脉夹层组。纳入标准:1)主动脉壁间血肿患者:通过主动脉 CTA,主动脉图像可满足诊断;主动脉壁呈环形或新月形高密度增厚,厚度通常>7mm,CT 值

为60~70Hu,无内膜破口或真假腔血流交通^[4]。 主动脉夹层患者:经主动脉 CTA 检查见内膜破口 或真假腔相通,诊断为 Stanford B 型主动脉夹层患 者(Stanford A 型夹层患者因病情危急,常需急诊 手术而排除)。排除标准:外伤性主动脉壁增厚的 非壁间血肿患者,如慢性血栓闭塞型主动脉夹层、 主动脉粥样硬化附壁血栓形成、主动脉瘤附壁血栓 形成、动脉炎及动脉周围炎等;碘过敏试验阳性;促 甲状腺激素异常者;合并严重肝肾功能不全者。纳 入的所有患者一般资料详细完整,均签署知情同意 书,医院伦理委员会批准。

1.2 sST2 与 D-二聚体的检测

患者入院后立即抽取肘静脉血 3~5ml,选择无明显脂血、溶血和黄疸的标本分离血清备检,临床疑似病例在 CT 确诊后立即采样。选择 3000r/min离心 10min,分离上清液,取血清分装于 EP 离心管中,置于-20℃的冰箱中。后采用双抗夹心 ELISA法测定血清 sST2 和 D-二聚体浓度,试剂盒均由江莱生物公司研制,严格按照试剂盒使用说明书进行操作。

1.3 统计学方法

应用 SPSS25. 0 软件进行统计分析。符合正态分布的连续变量采用 $\bar{x}\pm s$ 表示,采用独立样本 t 检验;不符合正态分布的采用 $M(P_{25},P_{75})$ 描述,采用 Mann-Whitney U 检验,分类变量采用卡方检验。 P<0.05 认为具有统计学意义。采用受试者工作曲线比较分析 sST2、D-二聚体以及两者联合对主动脉壁间血肿、主动脉夹层的诊断价值并得出诊断的最佳界限值。

2 结果

2.1 患者的基础资料

两组在性别、年龄、血脂、血钙、碱性磷酸酶、肌酐、D-二聚体方面差异无统计学意义(P>0.05)。 两组 sST2 水平差异有统计学意义。见表 1。

表 1 两组间一般资料和血清指标比较

项目	主动脉夹层组 (n=40)	主动脉壁间血 肿组(n=52)	$\chi^2/Z/t$	P
男性/女性	37/3	40/12	4. 020	0.045
平均年龄(岁,x±s)	56. 29±11. 43	60. 92±11. 50	-1.895	0.062
血磷(mmol/L,x±s)	1.06±0.26	1.00±0.20	0.847	0.400
碱性磷酸酶[U/L, $M(P_{25},P_{75})$]	86(72.00,92.25)	81 (69. 25, 104. 50)	-0.568	0.570
$Mff[mol/L\langle\mathit{M}(\mathit{P}_{25},\!\mathit{P}_{75})]$	81(69.25,104.50)	69. 35(58. 65,89. 58)	-0.813	0.416
血钙[mmol/L($M(P_{25}, P_{75})$]	2. 16(2.06, 2.25)	2. 16(1.97,2.24)	-1.144	0. 252
D-二聚体[mg/L,M(P ₂₅ ,P ₇₅)]	2.44(1.09,5.70)	1. 23(0.71,2.94)	-1.93	0.054
$\mathrm{sST2}[\mathrm{ng/mL}, \mathit{M}(P_{25}, P_{75})]$	38. 28(28. 45,68. 40)	20. 27(13. 36, 30. 48)	-4.73	<0.001

2.2 sST2和 D-二聚体对主动脉壁间血肿和主动脉夹层的诊断意义

以主动脉夹层组为状态变量,得到 sST2 的曲线下最大面积为 0.788,95% CI(0.694,0.882), P < 0.05, sST2 对主动脉夹层有诊断价值,最佳界值为 27.84ng/mL(敏感度为 0.80,特异性为 0.71)。D二聚体的曲线下最大面积为 0.618,95% CI(0.498,0.738),最佳界值为 1.215ng/mL.;D-二聚体与 sST2 联合诊断主动脉夹层,曲线下面积 0.216,无诊断价值。见图 1。

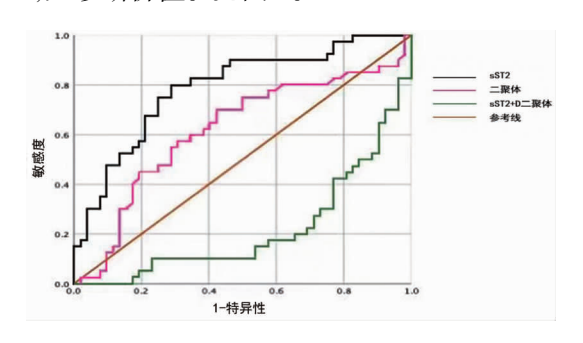


图 1 sST2 和 D-二聚体诊断主动脉夹层的 ROC 曲线

以主动脉血肿组为状态变量,可以看到 sST2 和 D-二聚体曲线下面积分别为 0.212、0.382,说明两者对血肿均无诊断意义,D-二聚体与 sST2 联合检测曲线下面积 0.784,95% CI(0.689,0.879) 最佳界值敏感度 0.692,特异性为 0.80,两项联合对主动脉壁间血肿有一定诊断价值。见图 2。

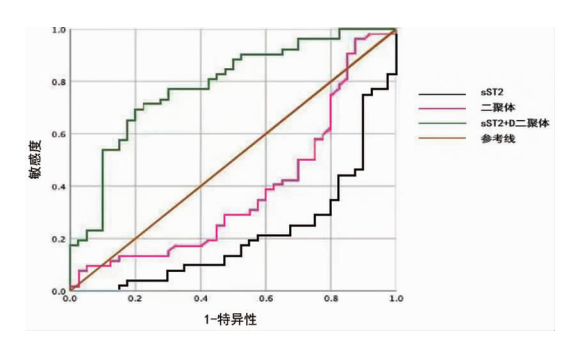


图 2 sST2 和 D-二聚体诊断主动脉壁间血肿的 ROC 曲线

3 讨论

IMH由 Krukenberg 在 1920 年首次提出,是由主动脉中层滋养血管破裂后动脉斑块位移所致^[5]。IMH是一个潜在的致死性疾病,血肿可以完全吸收,也可以进展为动脉瘤、AD、破裂等,危及患者生命^[6];AD 指主动脉腔内血液从主动脉内膜撕裂处进入主动脉中膜,使中膜分离,沿主动脉长轴方向扩展形成主动脉壁的真假两腔分离状态^[7]。

IMH与AD临床症状高度相似,但治疗方案差异较大,因此早期鉴别诊断并进行适当的治疗,对改善患者预后,促进早期康复起到极其重要的作用^[8]。CT血管造影是区别、诊断该类疾病的金标准,也是监测 IMH和AD病情演变的必要条件^[9]。但CT血管造影存在诸多客观条件限制其应用范围,如检查费用昂贵、检查时间长、转运及检查风险高、很多基层医院尚不能实现24h增强CT等。另外CT血管造影中造影剂的高压输入有导致夹层剥离范围加大甚至是破裂的风险,对IMH和AD患者同样是一危险因素。部分碘过敏、严重肾衰患者同样难以接受CT血管造影。因此,临床上急需一种诊断效能较高的检验指标,以帮助医生对IMH、AD患者进行快速准确的诊断。

D-二聚体在临床上多用于深静脉血栓、肺栓塞等血栓性疾病的诊断、疗效评估、预后判断,它是纤维蛋白经纤溶酶水解产生的降解产物,反映机体的纤维蛋白水解功能。Shimony等^[10]研究发现 D-二聚体也可用于 AD 的诊断、鉴别诊断、预后评估。ST2 是 IL-1 受体家族成员,主要有两种亚型,分别为跨膜型 ST2(ST2L)和可溶性 ST2(sST2)^[11]。其中 sST2 可以作为一种与心血管损伤相关的生物标志物,主要由心肌细胞和心肌成纤维细胞、冠脉及大血管内皮细胞在损伤和应激反应下产生,在心衰

的诊断、预后评估等方面发挥作用^[12]。近年研究发现 sST2 在血液中的含量水平可反映心脏的负荷状况^[13]。2017 年美国心脏病学会/美国心脏协会/美国心力衰竭协会(ACC/AHA/HFSA)更新了HF 指南,推荐 sST2 作为心力衰竭监测和预后评估的生物标志物^[14]。研究发现,AD 患者 sST2 蛋白浓度显著高于肺栓塞及心梗患者^[15]。

本文结果显示,AD 患者血清 sST2 浓度显著高于 IMH 患者,对 AD 诊断得到 sST2 的曲线下最大面积为 0.772,最佳界值为 27.84ng/mL,D-二聚体的曲线下最大面积为 0.603,最佳界值为 1.215mg/L,两者联合诊断曲线位于下方,不具有诊断意义。sST2 对 AD 具有诊断意义,且对于 AD 的诊断意义强于 D-二聚体;对 IMH 不具有诊断意义,但诊断意义不如 sST2;对 IMH 不具有诊断意义。sST2 和 D-二聚体的联合应用对 AD 无诊断意义,但对 IMH 具有诊断意义。

本研究具有的一定的局限性:缺乏正常人群的对照;样本数量相对较少;样本采自患者入院 24h内,缺乏对患者多时间点的连续检测,以便寻找最佳的诊断时机和最佳界值;AD 患者纳入 Stanford B型,未包含 Stanford A型。

总之,根据我们的研究结果,可以将 sST2 在临床上用于 AD 的辅助诊断以及 AD 与 IMH 的鉴别诊断;可以将 sST2 和 D-二聚体联合在临床上用于IMH 的辅助诊断以及 IMH 与 AD 的鉴别诊断。

利益冲突:所有作者均申明不存在利益冲突。

参考文献:

- [1] 朱雪敏,血清 sST2 在慢性心衰并房颤患者中的水平 变化及临床意义[D]. 福州:福建医科大学,2018.
- [2] Pape LA, Awais M, Woznicki EM, et al. Presentation, diagnosis, and outcomes of acute aortic dissection: 17-year trends from the international registry of acute aortic dissection [J]. J Am Coll Cardiol, 2015, 66(4): 350-358. DOI:10.1016/j. jacc. 2015.05.029.
- [3] Gaggin HK, Szymonifka J, Bhardwaj A, et al. Head-to-head comparison of serial soluble ST2, growth differentiation factor-15, and highly-sensitive troponin T measurements in patients with chronic heart failure [J]. JACC Heart Fail, 2014, 2(1):65-72. DOI: 10. 1016/j. jchf. 2013, 10, 005.
- [4] Sueyoshi E, Onizuka H, Nagayama H, et al. Clinical im-

- portance of minimal enhancement of type B intramural hematoma of the aorta on computed tomography imaging [J]. J Vasc Surg, 2017, 65(1):30-39. DOI:10. 1016/j. jvs. 2016. 06. 117.
- [5] Marquardt E, Martini AK. Krukenberg-plasty in the E. Marquardt modification [J]. Handchir Mikrochir Plast Chir, 1985, 17(3):117-121.
- [6] Akin I, Kische S, Ince H, et al. Penterating aortic ulcer, intramural hematoma, acute aortic syndrome: when to do what [J]. J Cardiovasc Surg, 2012, 53(1):83-90.
- [7] 李杨,李洪利,冯磊,等. 急性主动脉夹层诊断与鉴别诊断 PBL 教学课程的设计与实践[J]. 中国循证心血管医学杂志,2021,13(7):889-891. DOI:10. 3969/j. issn. 1674-4055. 2021. 07. 34.
- [8] 朱杰昌,戴向晨,罗宇东,等. 开窗胸主动脉修复术治疗伴有不良锚定区的急性 Stanford B 型夹层的早期结果分析[J]. 中华血管外科杂志,2017,2(2):107-111.
- [9] 邹艳君,肖振平.主动脉壁间血肿影像学诊断及预后评估的研究进展[J].心肺血管病杂志,2021,40(6):646-648
- [10] Shimony A, Filion KB, Mottillo S, et al. Meta-analysis of usefulness of d-dimer to diagnose acute aortic dissection [J]. Am J Cardiol, 2011, 107(8):1227-1234. DOI: 10. 1016/j. amjcard. 2010. 12. 027.
- [11] Lotierzo M, Dupuy AM, Kalmanovich E, et al. sST2 as a value-added biomarker in heart failure [J]. Clin Chim Acta, 2020, 501: 120-130. DOI: 10. 1016/j. cca. 2019. 10. 029.
- [12] Weir RA, Miller AM, Murphy GE, et al. Serum soluble ST2; a potential novel mediator in left ventricular and infarct remodeling after acute myocardial infarction [J]. J Am Coll Cardiol, 2010, 55(3):243-250. DOI:10.1016/ j. jacc. 2009. 08. 047.
- [13] Chen WY, Hong J, Gannon J, et al. Myocardial pressure overload induces systemic inflammation through endothelial cell IL-33[J]. Proc Natl Acad Sci U S A,2015,112 (23):7249-7254. DOI:10.1073/pnas.1424236112.
- [14] Pascual-Figal DA, Januzzi JL. The biology of ST2; the international ST2 consensus panel [J]. Am J Cardiol, 2015,115(7 Suppl); 3B-7B. DOI: 10. 1016/j. amjcard. 2015.01.034.
- [15] Miller AM. Role of IL-33 in inflammation and disease
 [J]. J Inflamm (Lond), 2011, 8 (1): 22. DOI: 10.
 1186/1476-9255-8-22.

(收稿日期 2022-03-03) (本文编辑:甘慧敏)